

## ارزیابی لرزه‌ای و انتخاب جانمایی بهینه میراگر اصطکاکی سیلندری در سازه‌های فلزی

Hamid Mirzaee Fard<sup>1\*</sup>, Masoud Mirtaheri<sup>2</sup>

۱- کارشناس ارشد مهندسی سازه، دانشکده مهندسی عمران، دانشگاه صنعتی خواجه نصیرالدین طوسی، تهران، ایران

۲- دانشیار، دانشکده مهندسی عمران، دانشگاه صنعتی خواجه نصیرالدین طوسی، تهران، ایران

### چکیده

در این مقاله، به ارزیابی لرزه‌ای و انتخاب جانمایی بهینه سازه‌های فولادی مجهز به میراگر اصطکاکی سیلندری پرداخته شده است. میراگر اصطکاکی سیلندری شامل دو عنصر اصلی، شفت (استوانه توپر) و سیلندر (استوانه توخالی) می‌باشد. این دو عنصر به طور کامل درون هم قرار می‌گیرند. اگر نیروی محوری میراگر بیش از نیروی اصطکاک بین شفت و سیلندر شود، شفت داخل سیلندر حرکت می‌کند که منجر به جذب قابل توجه انرژی و کاهش پاسخ‌های سازه خواهد شد. بهمنظور ارزیابی سازه‌های مجهز به میراگر اصطکاکی سیلندری، قاب فولادی ۶ طبقه با و بدون میراگر اصطکاکی سیلندری تحت شتاب نگاشت زمین لرزه استریو قرار داده شده و پاسخ‌های سازه از قبیل تغییر مکان، برش پایه و... در هر دو حالت مقایسه شده‌اند. نتایج نشان دهنده بیرون قابل توجه عملکرد سازه مجهز به میراگر اصطکاکی سیلندری می‌باشد. سپس با در نظر گرفتن نصب این میراگر در موقعیت‌های مختلف بهمنظور جذب انرژی، پاسخ‌های سازه در موقعیت‌های مذکور بررسی شده‌اند. نتایج نشان می‌دهد جانمایی قطری دارای کمترین پاسخ لرزه‌ای بوده و دارای بیشترین میزان جذب انرژی و نهایتاً بهینه‌ترین موقعیت قرارگیری میراگر می‌باشد.

**کلمات کلیدی:** میراگر اصطکاکی سیلندری، جذب انرژی، تحلیل غیرخطی، جانمایی بهینه

## Evaluation of Seismic Behavior and Select Optimal Situation of Cylindrical Frictional Dampers in Steel Structures

Hamid Mirzaee Fard<sup>1</sup>, Masoud Mirtaheri<sup>2</sup>

1- M.Sc. in Structural Engineering, Department of Civil Engineering, K.N. Toosi University of Technology, Tehran, Iran

2- Associate Professor, Department of Civil Engineering, K.N. Toosi University of Technology, Tehran, Iran

### Abstract

In this investigation, seismic response of steel structures utilizing Cylindrical Frictional Dampers (CFD) is studied. CFD is an innovative frictional damper which comprises two principal elements, the shaft and the hollow cylinder. These two elements are assembled such that one is shrink-fitted inside the other. If the damper's axial force overcomes the static friction load, the shaft inside the cylinder will move and results in considerable mechanical energy absorption. To assess the efficacy of CFD 6 story steel frame are constructed and analyzed.

\* ملک سفر: حمید مرزا افندی فرد، h\_mirzaee.fard@sina.kntu.ac.ir

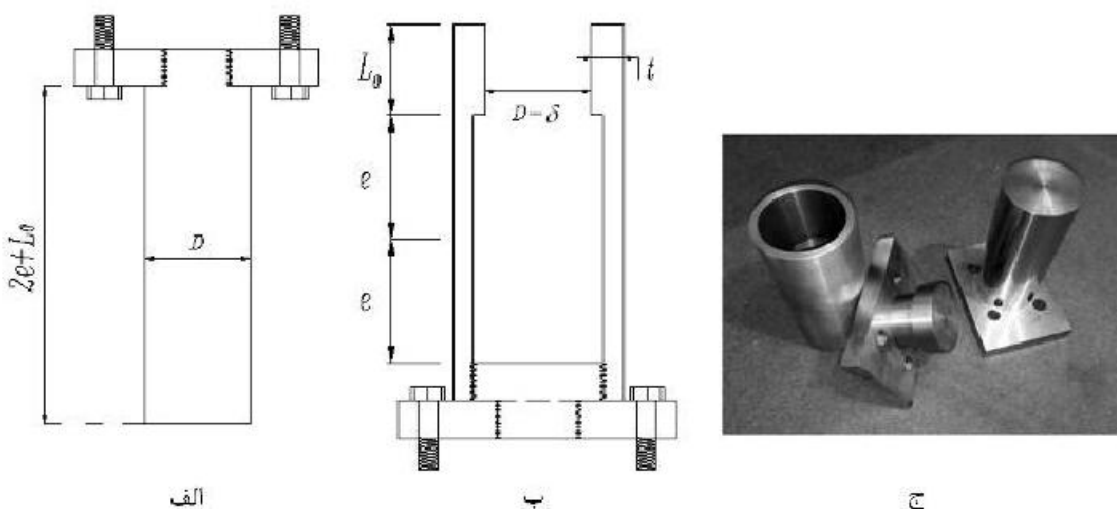
تاریخ دریافت مقاله: ۱۶/۶/۳۰، تاریخ پذیرش مقاله: ۱۶/۹/۲۲

*Nonlinear time history analyses are applied to the frames and clear distinction has been drawn between the frames comprising CFD and the counterparts without CFD to emphasize the effectiveness of CFD in altering seismic responses. The results show that CFD extremely improves the seismic response of the structure. Considering that we can install this damper in various situations to absorb energy, the behavior of this damper is evaluated in these situations. Response of structure (such as displacement, base shear, etc) represents the best and most effective position and optimal situation of the damper which is in diagonal brace.*

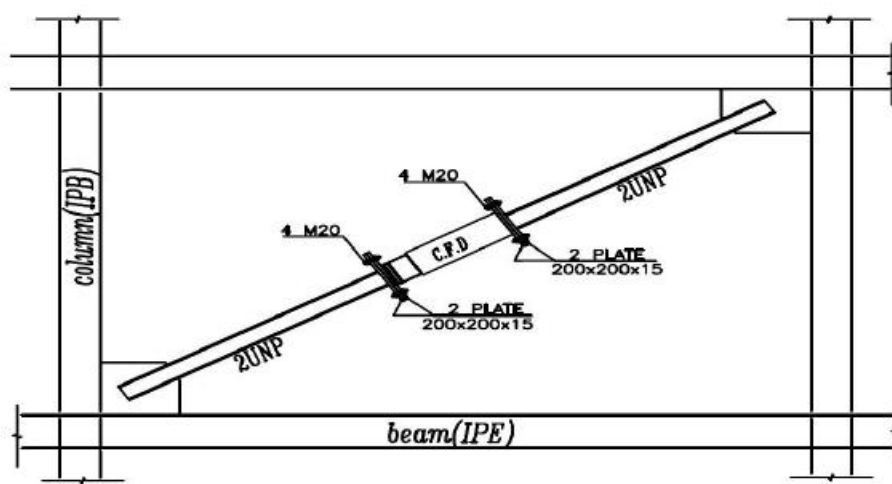
**Keywords:** Cylindrical frictional dampers, Energy absorption, Non-linear analyses, Optimal situation

### ۱- مقدمه

میراگرها اصطکاکی و در کل مکانیزم اصطکاکی به علت داشتن عملکرد ساده و عدم نیاز به مصالح و تکنولوژی خاص، به عنوان یکی از بهترین راههای ارتقاء رفتار لرزه‌ای سازه‌ها محسوب می‌شود. یکی از انواع میراگرها اصطکاکی، میراگر اصطکاکی سیلندری<sup>۱</sup> (CFD) می‌باشد. این میراگر از دو بخش اصلی به علاوه اتصالات لازم جهت الحاق به سازه یا هر سیستم لرزنده یا تحت اثر ضربه تشکیل شده است. دو بخش اصلی این میراگر عبارت‌اند از بخش استوانه‌ی توپر یا شفت (شکل (الف)) [۱] و بخش لوله‌ای شکل یا سیلندر (شکل (ب)) [۱] که جنس و مشخصات هندسی آنها نظیر قطر، ضخامت و طول، بر اساس ظرفیت مورد نیاز، طراحی و محاسبه می‌شود. قسمتی از قطر داخلی بخش لوله‌ای که در ناحیه  $\Delta$  قرار داشته و در شکل نشان داده شده است، از قطر بخش استوانه به اندازه‌ی معینی کوچک‌تر می‌باشد. یعنی در دمای همسان، استوانه نمی‌تواند داخل لوله قرار گیرد. با ایجاد اختلاف دمای مناسب بین لوله و استوانه، قطر داخلی لوله افزایش یافته و استوانه داخل آن قرار می‌گیرد. پس از تعادل گرمایی فشار لازم بین سطوح تماس (سطح جانبی استوانه و سطح داخلی قسمت لوله‌ای شکل) ایجاد شده و این تنش‌های عمودی حلقوی و شعاعی بین سطوح تماس که حاصل از کرنش تحملی می‌باشد، سبب ایجاد اصطکاک بین دو بخش اصلی این میراگر می‌شود. در اثر اعمال نیروی محوری کافی به میزان بار طراحی لغزش به دو سر این میراگر، بخش استوانه‌ای داخل بخش لوله‌ای با خلیه بر اصطکاکی حرکت خواهد کرد و سبب جذب انرژی مکانیکی قابل توجهی خواهد شد. در شکل ۱-۱ جزئیات اتصال مهاریند به میراگر قطری نشان داده شده است [۱و۲].



<sup>1</sup> Cylindrical Friction Damper



شکل ۱: میراگر اصطکاکی سیلندری، (الف) پخش استواهه توبه ب) لوله خارجی (ج) میراگر ساخته شده، (د) جزئیات اتصال میراگر به مهاریند قطری

## ۲- بار لغزش

انرژی جذب شده در سازه های مهاریندی مجهز به میراگر اصطکاکی سیلندری،  $E_d$  به شرح ذیل بیان می شود:

$$E_d = \sum_{i=1}^n E_{di} = \sum_{i=1}^n \int F_{xi} |y_i| dt \quad (1)$$

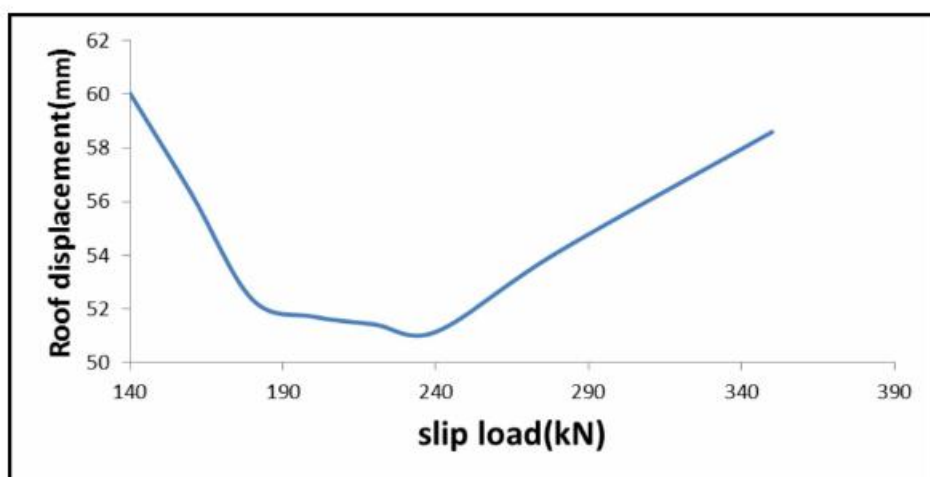
که در آن  $n$  تعداد کل میراگرهای  $E_d$  انرژی جذب شده در یک میراگر،  $F_{xi}$  بار لغزش میراگر و  $y_i$  تغییر مکان میراگر می باشد. اگر بار لغزش<sup>۱</sup> میراگر زیاد باشد (بزرگتر از کمانش عضو مهاریندی که میراگر در آن قرار دارد)، انرژی جذب شده برابر با صفر است، زیرا هیچ لغزشی رخ نمی دهد. در این حالت قاب مانند یک قاب مهاریندی شده رفتار می کند. از سوی دیگر، اگر بار لغزش بیش از حد کم باشد، لغزش بیش از حد رخ می دهد اما با توجه به مقدار کمی از لغزش، انرژی جذب شده تاچیر است. در این حالت قاب مانند یک قاب خمسی رفتار می کند. بین این دو حالت حدی، بار لغزشی از میراگر را می توان یافت که بیشترین میزان انرژی جذب شده در آن رخ می دهد. این بار لغزش، بار لغزش بهینه<sup>۲</sup> می باشد.

به منظور یافتن بار لغزش بهینه، بار لغزش های مختلف باید مورد بررسی قرار گیرد. به عنوان نمونه برای اولین بار، ۸۰٪ بار کمانش عضو بدعنوان بار لغزش میراگر انتخاب شده است. پس از آن، مطالعه پارامتریک در هر زمین لرزه صورت می گیرد و بار لغزشی که کمترین تغییر مکان بام در آن رخ دهد به عنوان بار لغزش بهینه انتخاب می شود.

به عنوان مثال در شکل ۲ نمودار تغییر مکان بام بر حسب بار لغزش تحت شتاب نگاشت زمین لرزه استرو ۱۹۴۰ نشان داده شده است. بار لغزشی که کمترین تغییر مکان بام را نشان می دهد بار لغزش بهینه میراگر اصطکاکی سیلندری (در اینجا ۲۴۰ کیلو نیوتون) می باشد.

<sup>1</sup> Slippage load

<sup>2</sup> Optimum slippage load

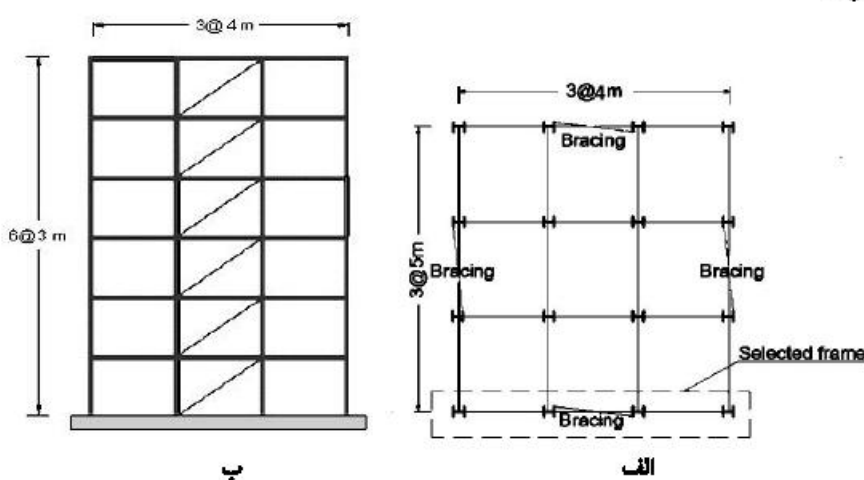


شکل ۲: بار لغزش بر حسب تغییر مکان یام در زمین لرزه استرو ۱۹۶۰

همان طور که دیده می شود میزان بار لغزش بهبیت به طور کامل وابسته به زمین لرزهای خارجی است [۱] و [۶].

### ۳- ارزیابی لرزه‌ای سازه‌های مجهز به میراگر اصطکاکی سیلندری

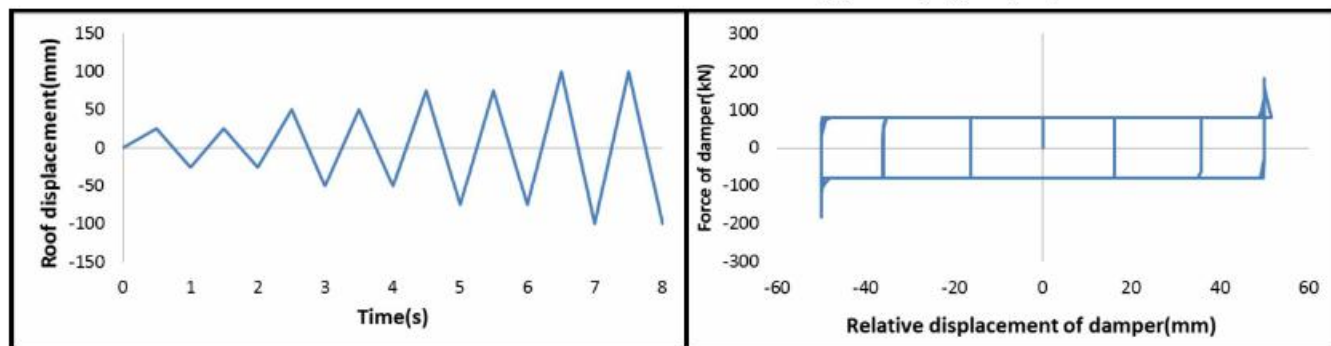
در این بخش به بررسی پاسخ‌های لرزه‌ای سازه‌های مجهز به میراگر اصطکاکی سیلندری می‌پردازیم. به‌منظور طراحی سازه قاب ۶ طبقه ۳ دهانه در پنهان با خطر نسبی خیلی زیاد و کاربری مسکونی در نرم‌افزار SAP2000 طراحی شده است. ارتفاع طبقات ۳ متر، سطح بارگیر تیرهای اصلی برابر ۵ متر و طول دهانه ۴ متر در نظر گرفته شده است. قاب نمونه (شکل ۳الف) یک قاب کناری از یک سازه سه دهانه است که در هر راستا دارای دو دهانه مهاریندی می‌باشد. به طوری که نیمی از بار و جرم دهانه خود را تحمل می‌کند (شکل ۳ب). با توجه به وجود میراگر در میان مهاریندها و لغزش میراگر و احتمال ناپایداری سازه هنگام اعمال شتاب‌نگاشت اتصالات تیر به ستون و پای ستون گیردار فرض شده‌اند. مصالح از نوع فولاد ۳۷-st و با فرض رفتار استوپلاستیک کامل می‌باشند. فرضیات لرزه‌ای در قاب مورد نظر رعایت گردیده است [۳] و [۴].



شکل ۳: ابعاد قاب مدل شده در نرم‌افزار الف) آنما ب) پلان

پس از طراحی، مدل اجزاء محدود آنها به کمک نرم‌افزار ABAQUS6-11 ساخته شده است. تیرهای، ستون‌ها و بادیندها با استفاده از

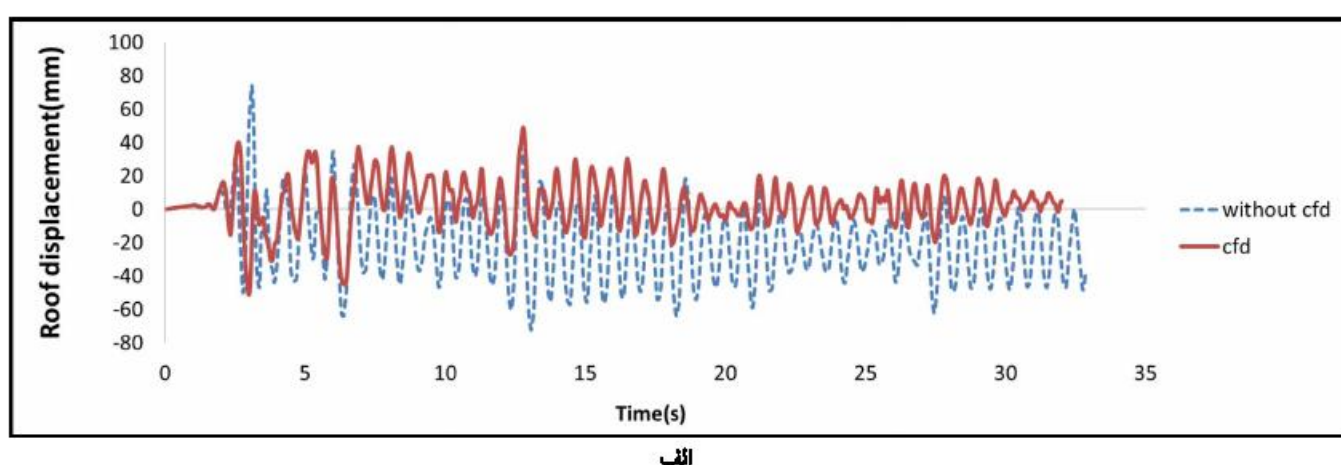
المان‌های غیرخطی مدل گردیده است. به منظور مدل‌سازی میراگر اصطکاکی سیلندری از المان Connector انتقالی در یکجهت در وسط مهاربند استفاده گردیده است سپس با استفاده از میرایی رایلی و نسبت میرایی رایلی معادل ۰/۵، خرابی ماتریس جرم و سختی تعیین گردیده و به قاب‌ها اعمال شده است. در شکل ۴ بار چرخه‌ای اعمال شده به قاب مجهز شده به میراگر اصطکاکی سیلندری و نیز رفتار المان Connector مدل شده به عنوان میراگر تحت بار نشان داده شده است.



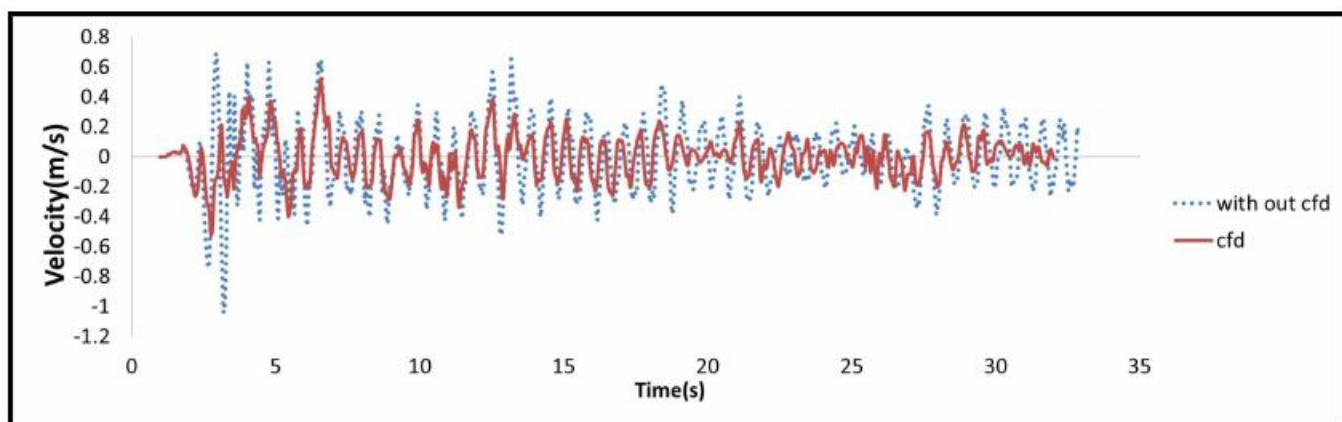
الف  
ب  
شکل ۴(الف) بار چرخه‌ای اعمال شده ب) رفتار المان مدل شده به عنوان میراگر

همان طور که در شکل ۴ ب دیده می‌شود تا قبل از یک نیروی مشخص (نیروی لغزش) هیچ گونه تغییر مکان نسبی در میراگر مشاهده نمی‌شود و پس از آن که نیروی اضافی به میراگر وارد شود، میراگر شروع به لغزش کرده و بعد از یک تغییر مکان نسبی مشخص ( $\pm 50\text{mm}$ ) استوانه به انتهای لوله رسیده و تغییر مکان نسبی میراگر به صفر رسیده و نیروی محوری داخل میراگر افزایش می‌یابد. این رفتار مطابق با میراگر ساخته شده توسط میر طاهری و همکاران [۱] می‌باشد.

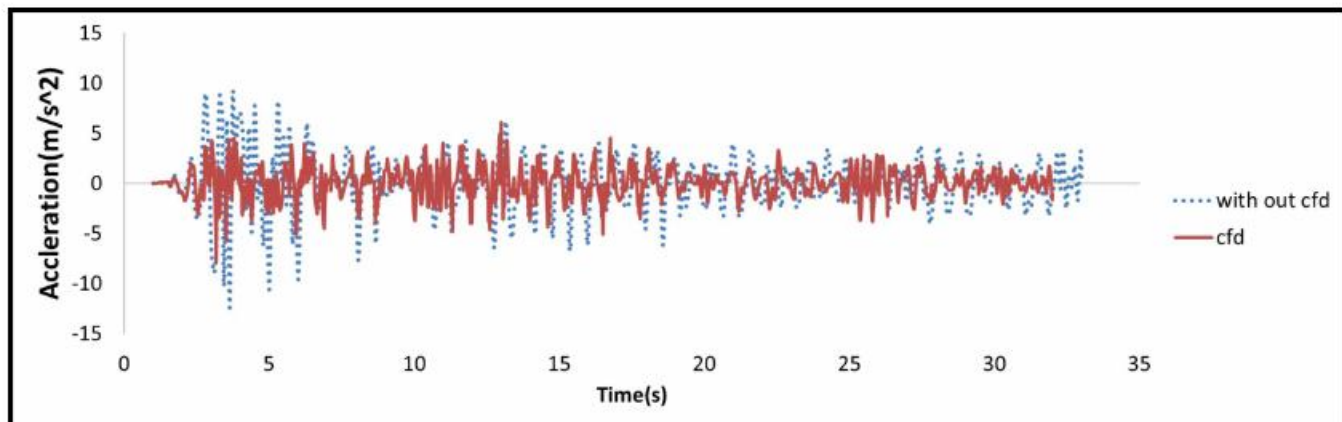
حال قاب مدل شده را تحت شتاب تگاشت زمین لرزه استترو قرار می‌دهیم و بار لغزش بهینه آن را به دست می‌آوریم. سپس پاسخ‌های لرزه‌ای آن از قبیل تغییر مکان، سرعت، شتاب و برخش پایه را با حالت بدون میراگر (در حالتی که مهاربند‌های آن دارای بروون محوری به اندازه یک هزار متر طول مهاربند برای کمترین مهاربندها می‌باشد) مقایسه می‌نماییم. شکل ۵ نمودار پاسخ‌های سازه را تحت زمین لرزه استترو ۱۹۴۰ نشان می‌دهد.



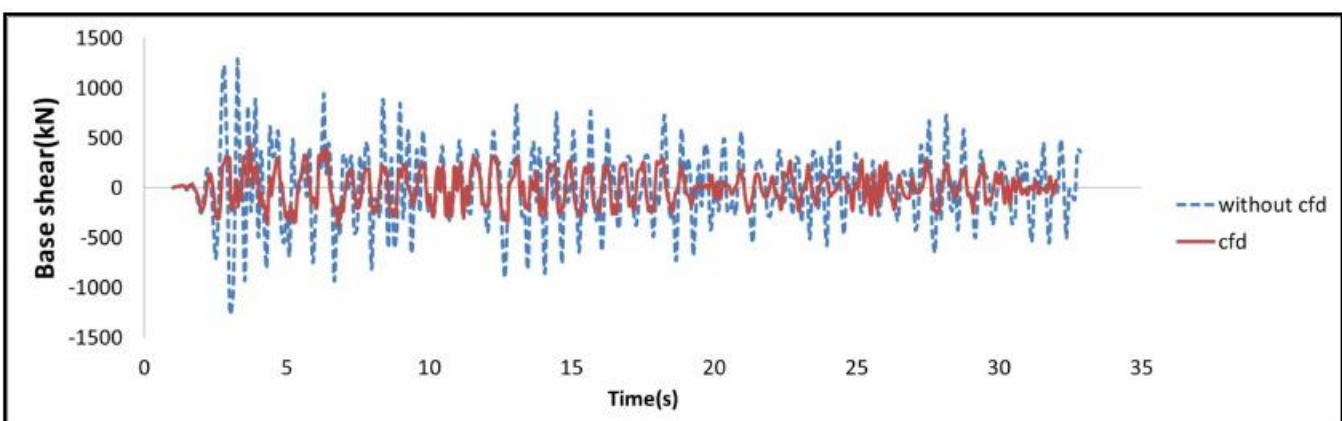
الف



ب



ج



د

شکل ۲: پاسخ‌های لرزه‌ای قاب تحت زمین‌لرزه استروالف (تغییر مکان بام ب) سرعت بام ج) شتاب بام د) برش پایه

در جدول ۱ بیشینه تغییر مکان، سرعت، شتاب بام و برش پایه قاب ۶ طبقه ۳ دهانه با و بدون میراگر اصطکاکی سیلندری تحت زمین‌لرزه‌های استروالف همچنین میزان کاهش پاسخ سازه در مقایسه با حالت دارای میراگر اصطکاکی سیلندری نشان داده شده است.

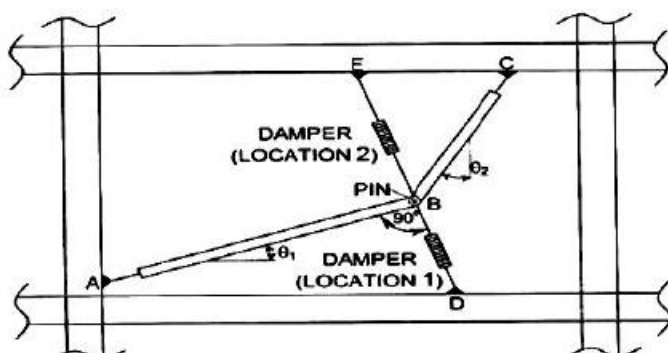
جدول ۱: پیشته پاسخ سازه با میراگر اصطکاکی سیلندری و بدون میراگر

درصد کاهش	با میراگر اصطکاکی سیلندری	بدون میراگر	پیشته پاسخ سازه
%	۷۴	۵۱	۷۳۱
(III/B) تغییر مکان بام	۱۰۶	۱۰۲	۷۵۰
(III/B) سرعت بام	۱۲۴۴	۷۷۹	۷۲۸
(III/B) شتات بام	۱۲۹۰	۴۴۸	۷۷۶
(kN) برش پایه			

همان طور که در شکل ۵ و جدول ۱ دیده می‌شود پاسخ‌های سازه‌ای در قاب مجهر به میراگر اصطکاکی سیلندری کمتر از سازه‌های مهاریندی شده می‌باشد که دلیل آن را می‌توان جذب انرژی در میراگر اصطکاکی سیلندری، تولید کمتر مقاصل پلاستیک در سازه و جلوگیری از کمانش مهاریند در سازه‌های مجهر به این نوع میراگر دانست.

#### ۴- انتخاب جانمایی بهینه میراگر اصطکاکی سیلندری

دو این بخش با توجه به این که میراگر اصطکاکی سیلندری را می‌توان در موقعیت‌های مختلف در یک سازه نصب کرد، به انتخاب مناسب‌ترین و مؤثرترین محل قرارگیری این نوع از میراگر جهت کاهش پاسخ‌های لرزه‌ای می‌پردازم. سازه‌های دارای مهاریند تغییر مکان نسبی بین طبقه‌ای و یا سرعت کمی در برابر وزله دارند و برخی می‌پندارند که این سازه‌ها برای میراگرهایی که وابسته به تغییر مکان (میراگر اصطکاکی سیلندری) و یا سرعت(میراگر ویسکو) هستند مناسب نمی‌باشند. به این دلیل که تغییر مکان نسبی بین طبقه‌ای و یا سرعت زیاد باعث اتلاف انرژی بیشتر در این سازه‌ها می‌شود. از فرمول ۱ نیز می‌توان دریافت انرژی جذب شده در میراگر اصطکاکی سیلندری به تغییر مکان و نیروی لغزش آن وابسته می‌باشد و هرچه این دو عامل بیشتر باشد انرژی جذب شده در میراگر بیشتر می‌باشد. مطالعاتی در زمینه افزایش کارایی میراگرها در زمین لرزه‌های کوچک در سال ۲۰۰۰ در دانشگاه بوفالو صورت گرفت که منجر به ارائه روش‌هایی برای بزرگنمایی حرکت و انتخاب جانمایی مناسب در میراگر شد. دو حالت بزرگنمایی معروفی شده عبارت بودند از مهاریند زانویی<sup>۱</sup> و قیچی جک<sup>۲</sup>. مهاریند زانویی در شکل ۱(A) نشان داده شده است.



شکل ۱: جانمایی مهاریند زانویی

<sup>1</sup> Toggle-brace<sup>2</sup> Scissor-jack

نیو خمین در زانوها باعث کوچک شدن مقاطع و همچنین ساده شدن اتصالات می‌شود. میراگر به طور عمود بر ضلع AB نصب می‌شود. تغییر مکان نسبی بین نقطه A و C برابر تغییر مکان نسبی بین طبقه‌ای (II) می‌باشد که با تغییر مکان میراگرها (برای چرخش‌های کوچک) بین نقاط B و D (u<sub>D1</sub>) و E (u<sub>D2</sub>) و B (u<sub>D3</sub>) طبق روابط زیر رابطه دارند.

$$u_{D1} = f_1 u \quad (2)$$

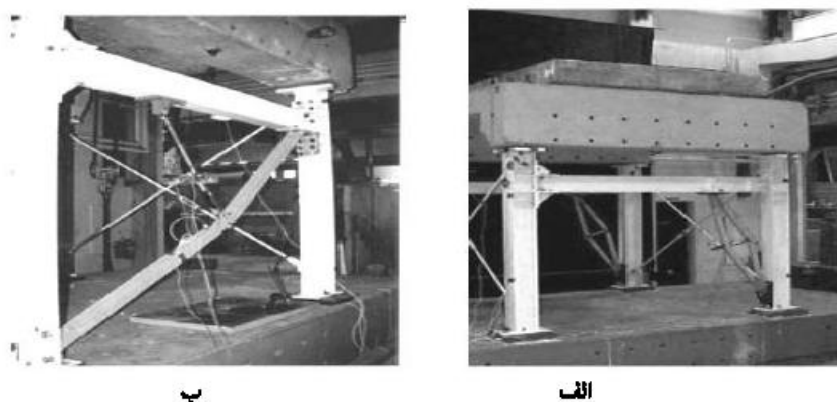
$$u_{D2} = (f_1 + \sin \theta_1) u = f_2 u \quad (3)$$

که در آن  $f_1$  و  $f_2$  برابرند با:

$$f_1 = \frac{\sin \theta_2}{\cos(\theta_1 + \theta_2)} \quad (4)$$

$$f_2 = \frac{\sin \theta_2}{\cos(\theta_1 + \theta_2)} + \sin \theta_1 \quad (5)$$

با در نظر گرفتن فرمول‌های ارائه شده ضریب بزرگنمایی حرکت (f) فقط وابسته به  $\theta_1, \theta_2$  می‌باشد. همچنین در حالت قرار گرفتن میراگر در بالا (حالت دوم شکل ۵) ضریب بزرگنمایی بزرگتری نسبت به حالت اول به وجود می‌آید. در شکل ۷ [۸] مهاریند زانویی و جک بر پیش نشان داده شده است.



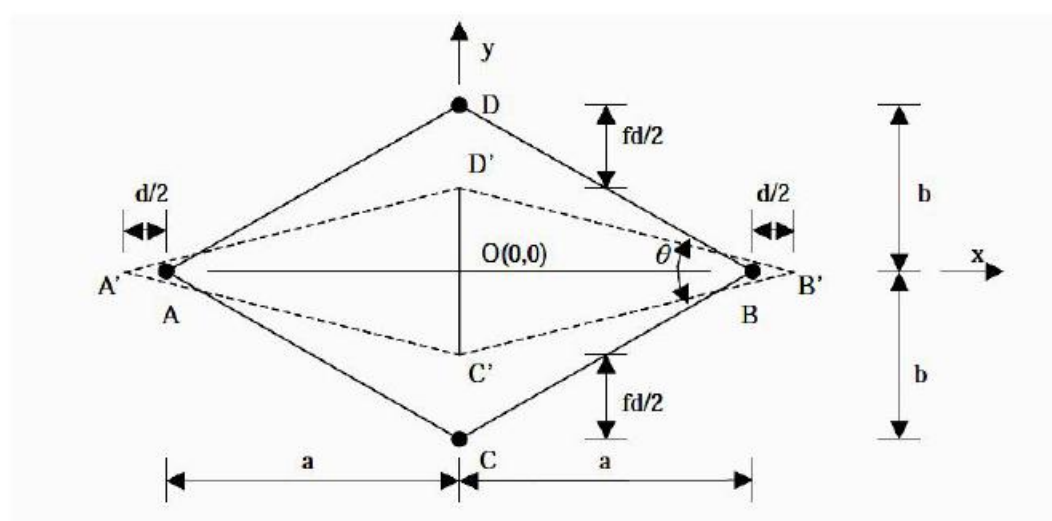
شکل ۷: (الف) مهاریند زانویی ب) تیپی جک

در شکل ۸ [۸] ضریب بزرگنمایی حرکت برای چانمایی‌های مختلف میراگر برای سازه یک درجه آزادی نشان داده شده است.

Diagonal		$F \cos \theta$
Chevron		$F = 1.00$
Lower Toggle		$F = \frac{\sin \theta_2}{\cos(\theta_1 + \theta_2)}$
Upper Toggle		$F = \frac{\sin \theta_2}{\cos(\theta_1 + \theta_2)} + \sin \theta_1$
Reverse Toggle		$F = \frac{\alpha \cos \theta_1}{\cos(\theta_1 + \theta_2)} - \cos \theta_2$
Scissor-Jack		$F = \frac{\cos \psi}{\tan \theta_3}$

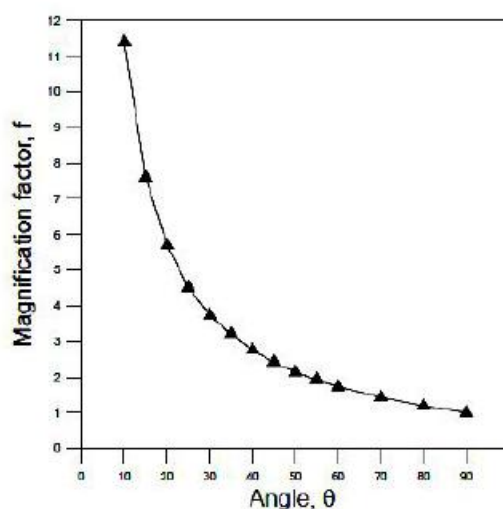
شکل ۸: ضریب بزرگنمایی حرکت برای چانمایی‌های مختلف میراگر برای سازه یک درجه آزادی

نوع دیگری از بزرگنمایی حرکت سیستم لوزی شکل<sup>۱</sup> می‌باشد. سیستم لوزی مطابق شکل<sup>۹</sup> داری ۴ ضلع مساوی AD, DB, BC و AC می‌باشد. هنگامی که نقاط A و B باندازه  $\frac{d}{2} \pm f\frac{d}{2}$  از هم دور باهندگی داشته باشند، نسبت باندازه C به آنها  $f$  است. این میزان خوبی بزرگنمایی حرکت (f) را باسته می‌باشد [۹].



شکل ۹: سیستم لوزی شکل

در شکل ۱۰ ضریب بزرگنمایی حرکت (f) نسبت به زاویه  $\theta$  رسم شده است [۹].

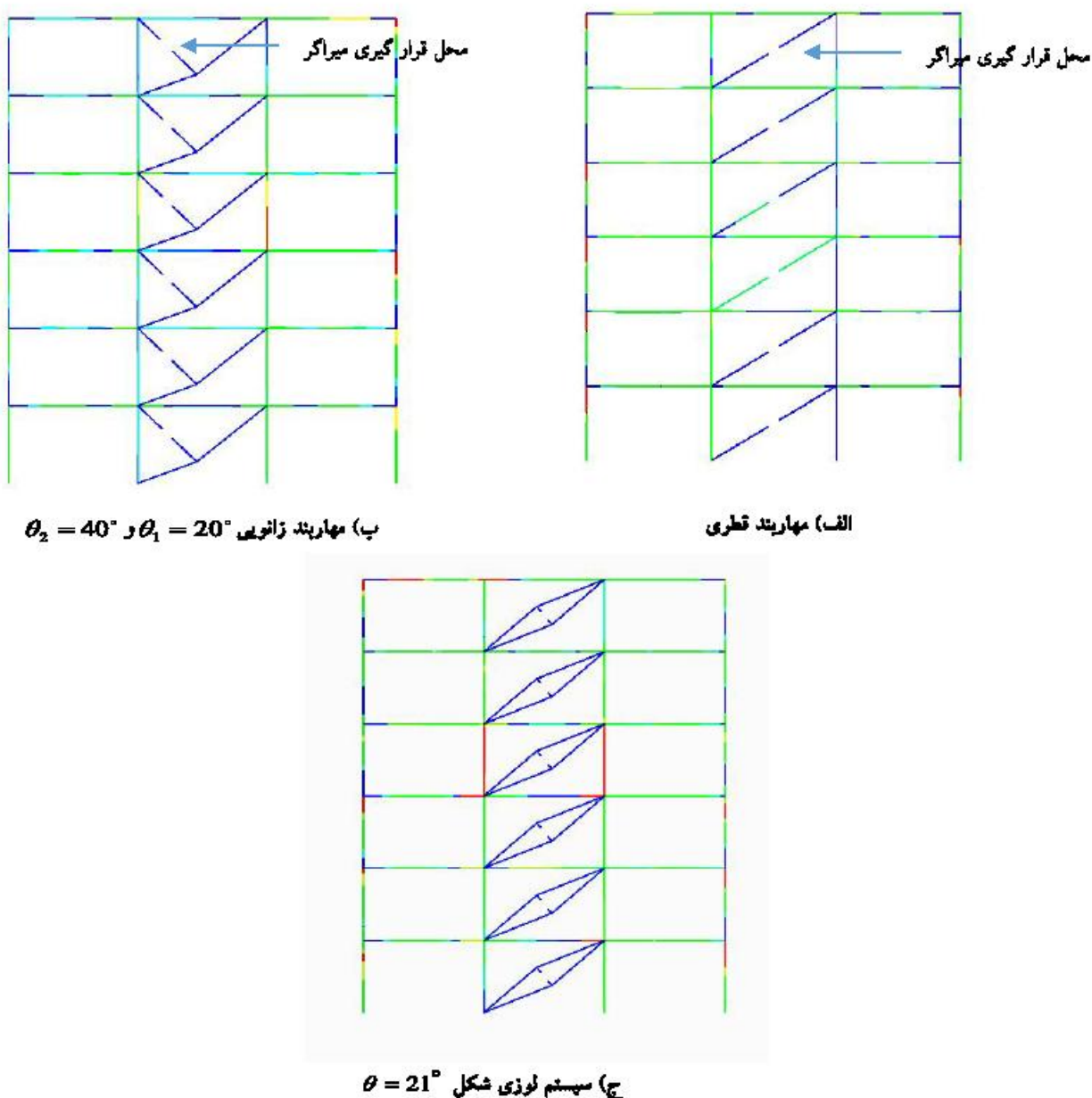


شکل ۱۰: ضریب بزرگنمایی حرکت (f) بر حسب زاویه ( $\theta$ )

با توجه به مطالب گفته شده به انتخاب جانمایی بھیته در مورد میراگرهای اصطکاکی سیلندری می‌پردازیم.

<sup>1</sup> Rhombus brace

ابتدا مدل اجزاء محدود ساختمان ۶ طبقه ۳ دهانه در سه حالت جانمایی میراگر اصطکاکی سیلندری (مهاربند قطعی، مهاربند زانویی و مهاربند لوزی شکل) ساخته شده است (شکل ۱۱)، سپس سازه تحت شتاب نگاشت زمین لرزه استرو-۱۹۴۰ قرار گرفته است و میزان بار لغزش بهینه در حالت‌های مختلف جانمایی مطابق جدول ۲ به دست آمده است.

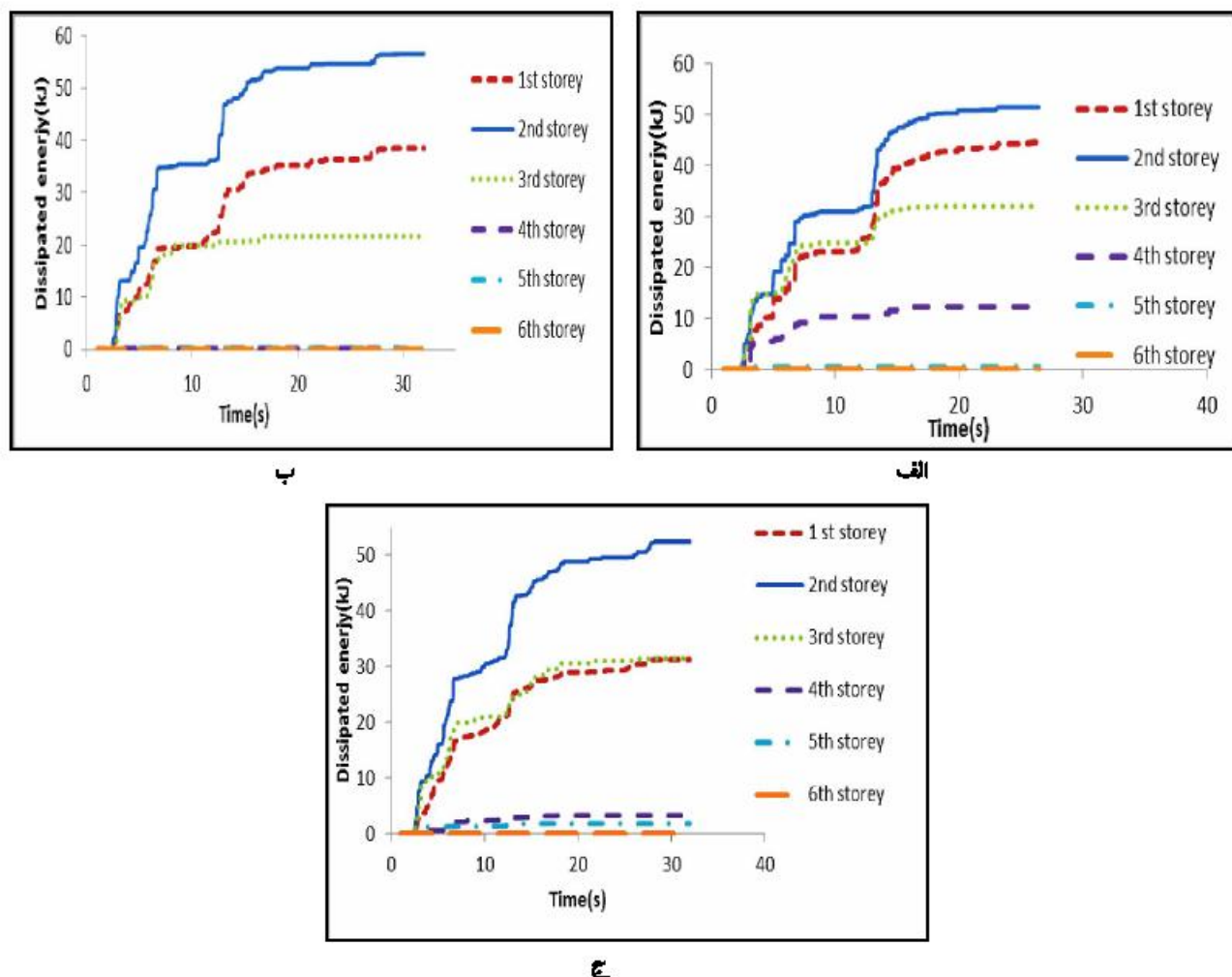


شکل ۱۱: جانمایی مختلف میراگر اصطکاکی سیلندری (الف) مهاربند قطعی (ب) مهاربند زانویی (ج) سیستم لوزی شکل

جدول ۲: بار لغزش بهینه میراگر با جانمایی مختلف

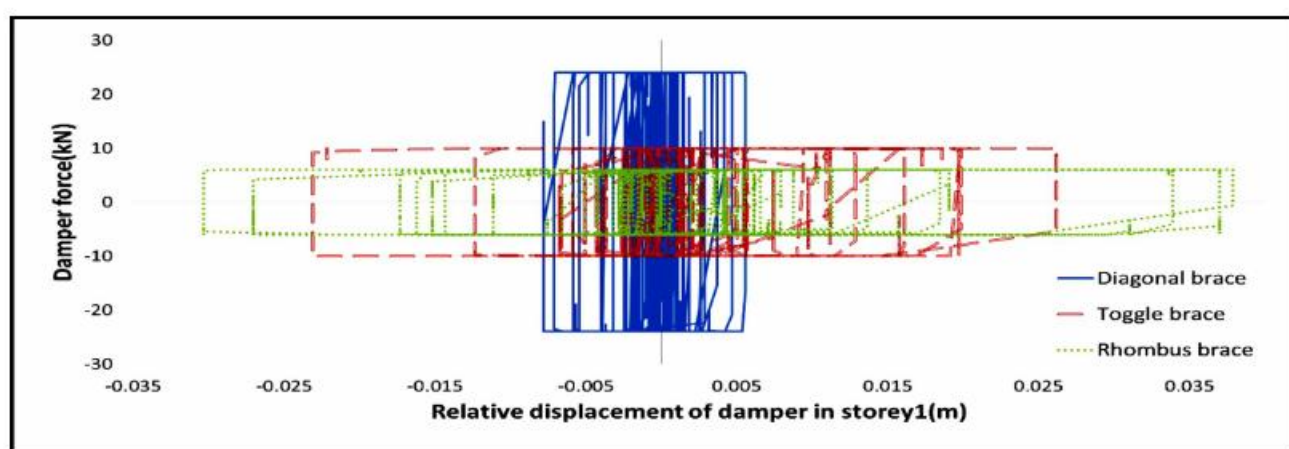
سیستم لوزی شکل	مهاربند زانویی	مهاربند قطعی	(kN) بار لغزش بهینه
۶۰	۱۰۰	۲۶۰	

با توجه به موقعیت‌های مختلف قرارگیری میراگر، انرژی جذب شده (مساحت داخل نمودار نیرو-تغییر مکان میراگر اصطکاکی سیلندری) در هر میراگر در طبقات مختلف قاب مطابق شکل ۱۲ می‌باشد.



شکل ۱۲: انرژی جذب شده در میراگر اصطکاکی سیلندری (الف) مهاربند ذاتی (ب) مهاربند ذاتی (ج) سیستم لوزی شکل

همان‌طور که در شکل ۱۲ می‌توان دید جذب انرژی در میراگرهای طبقه چهارم، پنجم و ششم در حالت مهاربند ذاتی و سیستم لوزی شکل بسیار ناچیز می‌باشد. همچنین بیشترین میزان جذب انرژی در هر سه حالت در میراگر واقع در طبقه دوم می‌باشد. در شکل ۱۳ منحنی هیسترزیس میراگر اصطکاکی سیلندری واقع در طبقه اول مربوط به جانمایی‌های مختلف نشان داده شده است.



شکل ۱۳: منحنی های هیستوگرام میراگر اصطکاکی سیلندری طبقه اول مریمط به جانمایی های مختلف

همان طور که دیده می شود تغییر مکان میراگر اصطکاکی سیلندری در حالت نوزی شکل بیشتر از مهاربند زانویی و مهاربند زانویی بیشتر از مهاربند قطری می باشد.

در جدول ۳ مجموع انرژی جذب شده در تمامی میراگرها با جانمایی های مختلف در هر قاب به دست آمده است.

جدول ۳: مجموع انرژی جذب شده در میراگرها با جانمایی های مختلف

انرژی تجمیعی جذب شده در میراگرهای اصطکاکی سیلندری (کیلو)	مهاربند زانویی	مهاربند قطری	سیستم نوزی شکل
۱۱۴/۷۶	۱۱۰/۰۸	۱۲۰/۰۴	

با توجه به جدول ۳ می توان دریافت مجموع انرژی جذب شده در میراگرهای واقع در مهاربند قطری بیشتر از سیستم نوزی شکل و سیستم نوزی شکل بیشتر از مهاربند زانویی است. گرچه سیستم های نوزی شکل و مهاربند زانویی دارای تغییر مکان بیشتری نسبت به میراگر واقع در مهاربند قطری بودند؛ ولی مجموع انرژی جذب شده توسط میراگرها (مساحت داخل نمودار نیرو - تغییر مکان) بیشتر از سایر حالات می باشد.

حال پاسخ های لرزه ای سازه در هر سه حالت جانمایی میراگر اصطکاکی سیلندری به دست آمده اند. در جدول ۴ پیشنهاد پاسخ سازه با جانمایی های مختلف آورده شده است.

جدول ۴: پیشنهاد پاسخ سازه با چانمایی های مختلف میراگر اصطکاکی سیلندری

پاسخ سازه	مهاربند زانویی	مهاربند قطری	سیستم نوزی شکل
تغییر مکان بام (mm)	۵۱	۶۸	۶۵
سرعت بام (m/s)	۰/۸۲	۰/۱۱	۰/۹۶
گشتاب بام (m/s <sup>2</sup> )	۷/۷۲	۷/۲۵	۷/۷۷
برخش پایه (kN)	۴۴۷/۸	۴۶۷/۸	۴۸۷/۸

با توجه به جدول ۴ می‌توان نتیجه گرفت مهاریند قطری بهترین حالت برای جانمایی میراگر اصطکاکی سیلندری می‌باشد. گرچه جانمایی زانویی و سیستم لوزی شکل باشت افزایش تغییر شکل میراگر اصطکاکی سیلندری گردید اما مجموع انرژی جذب شده در حالت قرارگیری در مهاریند قطری بیشتر از سایر موارد و نهایتاً پاسخ‌های لرزه‌ای در حالت قرارگیری کمتر از حالت‌های دیگر می‌باشد.

#### ۵- نتیجه گیری

- ۱- پاسخ سازه‌های مجهز به میراگر اصطکاکی سیلندری کمتر از سازه‌های مهاریند شده می‌باشد که دلیل آن را می‌توان اتفاف انرژی در میراگر اصطکاکی سیلندری، تولید کمتر مفاصل پلاستیک در سازه و جلوگیری از کمانش مهاریند در سازه‌های مجهز به این نوع میراگر دانست.
- ۲- در حالت‌های مختلف جانمایی میراگر اصطکاکی سیلندری، بیشترین میزان انرژی جذب شده توسط میراگر در موقعیت مهاریند قطری و سپس سیستم لوزی شکل و بعد از آن مهاریند زانویی می‌باشد.
- ۳- در حالت‌های مختلف جانمایی میراگر اصطکاکی سیلندری، کمترین پاسخ‌های لرزه‌ای مربوط به میراگر در موقعیت مهاریند قطری و سپس سیستم لوزی شکل و بعد از آن مهاریند زانویی می‌باشد.

#### ۶- مراجع

- [1] Mirtaheri Masoud, Zandi Amir Peyman, Sharifi Samadi Sahand, Rahmani Samani Hamid "Numerical and experimental study of hysteretic behavior of cylindrical friction dampers" Journal of Constructional Steel Research, 2010.
- [2] Kyung-Won Mina, Ji-Young Seonga, Jinkoo Kim "Simple design procedure of a friction damper for reducing seismic responses of single-story structure", 2010.
- [3] مبحث دهم مقررات ملی ساختمان "طرح و اجرای ساختمان‌های فولادی"، وزارت مسکن و شهرسازی، دفتر مقررات ملی ساختمان، ۱۳۸۸.
- [4] آینه‌نامه طراحی ساختمان‌ها در برایر زلزله استاندارد ۸۴۰۰-۲۸۰۰ (ویرایش سوم)، مرکز تحقیقات ساختمان و مسکن، ویرایش سوم، ۱۳۸۴.
- [5] Constantinou MC, Mokha A, Reinhard AM. Teflon bearings in base isolation, II: Modeling. Journal of Structural Engineering 1990
- [6] Li C, Reinhard AM. Experimental and analytical investigation of seismic retrofit of structures with supplemental damping: Part II-Friction devices. Technical report NCEER-95-0009. Buffalo (NY): State University of New York at Buffalo; 1995.
- [7] Lee SH, Park JH, Lee SK, Min KW. Allocation and slip load of friction dampers for a seismically excited building structure based on storey shear force distribution. Engineering Structures 2008.
- [8] Bozorgnia Bertero "Earthquake Engineering"- chapter 12-Seismic Energy Dissipation Systems for Buildings
- [9] Deh-Shin Hsu1, Ming-Che Hsu2, and Yung-Feng "Rhombus mechanism with fluid damper" Lee3 13th World Conference on Earthquake EngineeringVancouver, B.C., Canada August 1-6, 2004.
- [10] Fu-Sheng Lin1, Yung-Feng Lee2, and Deh-Shin Hsu3 stability of rhombus mechanism damper system 4th International Conference on Earthquake EngineeringTaipei, Taiwan October 12-13, 2006.